

# تحلیل اثر لایه‌ی مرزی در پوسته‌ی استوانه‌یی هیبریدی دوار با لایه‌گذاری متعامد تحت شرایط مختلف لبه‌یی

عیسی احمدی\* (دانشیار)

مهسا نجفی (دانشجوی دکتری)

ندا عطایی (کارشناس ارشد)

دانشکده هندسی مکانیک، دانشگاه زنجان

مهمنگی مکانیک شریف، پژوهش‌پذیر (۱۳۹۷-۱۵۳)، شماره ۱۰، ص. ۳-۴، دوری ۳

هدف این مقاله تحلیل اثر لایه‌ی مرزی در پوسته‌ی استوانه‌یی کامپوزیتی هیبریدی با استفاده از نظریه‌ی لایه‌یی است. استوانه تحت بارگذاری نیروی گریز از مرکز ناشی از دوار است. برای حل معادلات حاکم، از تبدیل متغیر برای جداسازی معادلات استفاده شده است و معادلات برای شرایط مرزی مختلف حل شده است. با حل معادلات حاکم و استخراج میدان جابه‌جایی پوسته‌ی هیبریدی، تنش‌های میان‌لایه‌یی و اثر لایه‌ی مرزی در پوسته‌ی استوانه‌یی هیبریدی محاسبه شده است. همگرایی روش ارائه شده با همگرایی روش اجزاء محدود مقایسه شده است. برای صحه‌گذاری، تنش‌های به دست آمده با نتایج اجزاء محدود مقایسه شده است. اثرات هندسه، نوع لایه‌گذاری، سرعت دوار و اثر هیبریدی شدن بر تنش‌های میان‌لایه‌یی و تنش لایه‌ی مرزی بررسی شده و بیشینه سرعت دورانی که پوسته‌ی هیبریدی می‌تواند تحمل کند محاسبه شده است. با استفاده از نتایج می‌توان جدایش لایه‌های کامپوزیت را پیش‌بینی و از وقوع آن جلوگیری کرد.

i\_ahmadi@znu.ac.ir  
mahsanajafi@znu.ac.ir  
neda.attaei@znu.ac.ir

وازگان کلیدی: کامپوزیت هیبریدی لایه‌یی، اثر لایه‌ی مرزی، تنش میان‌لایه‌یی، نظریه‌ی لایه‌یی ردی، لایه‌گذاری متعامد.

## ۱. مقدمه

کامپوزیت‌ها به دلیل خواص ویژه‌ی مکانیکی کاربرد فراوانی در صنایع دارند. کاربرد این مواد در صنایعی همچون صنعت هواپاکا، صنعت خودرو، ساختمان و ... به صورت چشمگیری رو به افزایش است. تغییر لایه‌گذاری یا خواص مکانیکی یا هندسی لایه‌ها در کامپوزیت‌های لایه‌یی<sup>۱</sup> به منظور تعییر رفتار ماده‌ی مرکب ممکن است به شکست یا جدایش<sup>۲</sup> لایه‌ها بینجامد. پدیده‌ی جدایش بین‌لایه‌یی بر اثر افزایش شدید و ناگهانی تنش‌های میان‌لایه‌یی<sup>۳</sup> در لایه‌ی آزاد پوسته‌ی مرکب رخ می‌دهد که به دلیل سه بعدی بودن تنش در این تأثیر، نظریه‌ی صفحه‌یی کلاسیک<sup>۴</sup> قادر به پیش‌بینی آن‌ها نیست. از این رو تحقیقات تحلیلی و عددی زیادی در این مورد انجام شده است.

نخستین مطالعات در زمینه‌ی کامپوزیت‌های لایه‌یی توسط پوپو و اونسن<sup>۵</sup> با در نظر گرفتن تنش صفحه‌یی و صرف نظر از تنش‌های میان‌لایه‌یی عمودی ارائه شده است. در ادامه، تحقیقات فراوانی با استفاده از نظریه‌ی اغتشاشات،<sup>۶</sup> نظریه‌ی مرتبه‌بالا<sup>۷</sup> و نظریه‌ی لایه‌ی مرزی<sup>۸</sup> انجام شد. در سال ۱۹۷۴ نیز با استفاده از

\* نویسنده مسئول  
تاریخ: دریافت ۱۰/۱۳۹۶، اصلاحیه ۲/۱۳۹۶، پذیرش ۱۷/۱۳۹۶، ۵/۵/۱۳۹۶.  
DOI:10.24200/J40.2018.6408

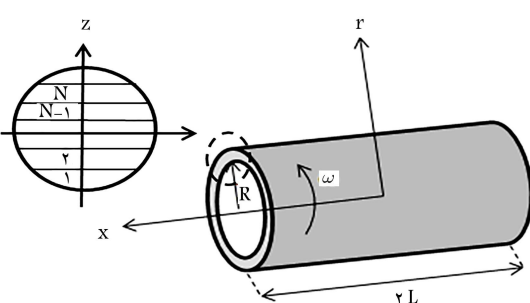
چون نظریه‌ی لایه‌یی تنش در لایه‌یی میان‌لایه‌یی را در معادل کامپوزیتی مقاینه تحت بارگذاری ارائه می‌کند. کامپوزیت میان‌لایه‌یی<sup>۹</sup> می‌تواند بزرگ‌ترین نسبت تنش در لایه‌یی میان‌لایه‌یی را در صفحات کامپوزیتی می‌آورد. از جمله تحقیقات انجام شده با استفاده از نظریه‌ی لایه‌یی می‌توان به تحقیق طهانی و نتیر<sup>۱۰</sup> اشاره کرد که با استفاده از نظریه‌ی لایه‌یی تنش‌های میان‌لایه‌یی در صفحات تحت کامپوزیتی را محاسبه کردند. طهانی<sup>۱۱</sup> صفحات کامپوزیتی لایه‌یی تحت بارگذاری را با نظریه‌ی لایه‌یی مورد بررسی قرار

کامپوزیتی متعمد را مورد بررسی قرار دادند. افشنین و طاهری<sup>[۲۰]</sup> تشن‌های میان‌لایه‌بی را در تیرهای کامپوزیتی روی بستر الاستیک مورد بررسی قرار دادند. ابوبی و علی بیگلو<sup>[۲۱]</sup> با استفاده از نظریه‌ی لایه‌بی ردی توانستند تحلیل گذرای سه‌بعدی پوسته‌ی استوانه‌بی FGM را تحت بارگذاری‌های مکانیکی و حرارتی محاسبه کردند. تحلیل ترمولاستیک پوسته‌های استوانه‌بی دوران به صورت مدرج تابعی توسط حیدرپور و همکاران<sup>[۲۲]</sup> مورد بررسی قرار گرفته که در آن مطالعه، ترکیبی از نظریه‌ی لایه‌بی و روش مربعات دیفرانسیلی مورد استفاده قرار گرفته است. با توجه به اهمیت جنس لایه‌ها در اندازه‌ی تشن‌های میان‌لایه‌بی، توجه به این موضوع می‌تواند موجب کاهش این تشن‌ها شود و در نهایت از احتمال جداشان لایه‌ها بکاهد.

با توجه به پیشینه‌ی پژوهش و مطالعات انجام شده در زمینه‌ی تشن‌های میان‌لایه‌بی، تاکنون مطالعه‌بی در زمینه‌ی تحلیل تشن‌های میان‌لایه‌بی در پوسته‌های کامپوزیتی هیبریدی تحت دوران با شرایط مرزی مختلف صورت نگرفته است. با توجه به کاربردهای لوله‌ای کامپوزیتی دوران و به علت اهمیت تشن‌های میان‌لایه‌بی در پوسته‌های کامپوزیتی مخصوصاً استوانه‌های دوران پسرعت، تحلیل دقیق این پوسته‌ها و محاسبه‌ی تشن‌های لایه‌بی دارای اهمیت است. همچنین برای بالا بردن میرایی ذاتی در این سازه‌ها استفاده از کامپوزیت هیبریدی می‌تواند مفید و مؤثر واقع شود و علاوه بر افزایش میرایی ذاتی سازه می‌تواند از احتمال جداش بکاهد. در این مقاله، میدان جابه‌جایی پوسته‌ی استوانه‌بی متعمد تحت دوران با استفاده از روش نظریه‌ی لایه‌بی به دست آمده است. نظریه‌ی لایه‌بی برای تبدیل معادلات دیفرانسیل با مشتقات جزئی به معادلات معمولی به صورت توابعی از روابط جابه‌جایی لایه‌های عددی، به کار می‌رود اثر هیبریدی شدن بر میزان تشن‌های میان‌لایه‌بی در پوسته‌ی استوانه‌بی دوران مورد بررسی قرار گرفته است. برای بررسی صحت نتایج از روش اجزاء محدود استفاده شده است. به علاوه اثرات هندسی و لایه‌گذاری در کامپوزیت لایه‌بی هیبریدی مورد بررسی قرار گرفته است.

## ۲. استخراج روابط

پوسته‌ی استوانه‌بی، لایه‌بی تحت بارگذاری دورانی در نظر گرفته شده که دارای  $n$  لایه‌ی فیزیکی است. هر لایه به  $m$  لایه‌ی ریاضی تقسیم شده است و در مجموع  $N$  لایه و  $1 + N$  سطح وجود دارد. چنان‌که در شکل ۱ مشاهده می‌شود، طول، شعاع متواسط و ضخامت پوسته‌ی استوانه‌بی به ترتیب  $2L$ ،  $R$  و  $h$  بوده و ضخامت هر لایه‌ی فیزیکی  $\frac{h}{n}$  است. چنان‌که در هندسه‌ی پوسته‌ی استوانه‌بی مشاهده می‌شود رابطه‌ی  $r$  و  $z$  چنین تعریف می‌شود.



شکل ۱. هندسه‌ی پوسته‌ی استوانه‌بی.

داد. باشار و دینگ<sup>[۲۳]</sup> با استفاده از نظریه‌ی لایه‌بی تشن‌های میان‌لایه‌بی را در پوسته‌های کامپوزیتی تحت فشار داخلی یکنواخت مورد تحلیل قرار دادند. ونگ و لی<sup>[۲۴]</sup> با استفاده از روش جداسازی متغیرها تشن‌های برون صفحه‌بی را در پوسته‌ی استوانه‌بی تحت فشار کامل و بارگذاری حرارتی محاسبه کردند. افشنین و همکاران<sup>[۲۵]</sup> اثرات لبه را در پانل ساندویچی کامپوزیتی تحت بارگذاری عرضی با استفاده از نظریه‌ی لایه‌بی مورد مطالعه قرار دادند. در این مطالعه نتایج به دست آمده از نظریه‌ی لایه‌بی با نتایج حاصل از روش اجزاء محدود مورد مقایسه قرار گرفت و مشخص شد که تعداد معادلات روش لایه‌بی کمتر از روش اجزاء محدود بوده و بازی مسائل پیچیده مناسب‌تر است. نیر و طهانی<sup>[۲۶]</sup> تشن‌های میان‌لایه‌بی در صفحات کامپوزیتی لایه‌بی متعمد تحت بارگذاری خمشی را با استفاده از نظریه‌ی لایه‌بی مورد بررسی قرار دادند. در این مطالعه دوعو شرط مرزی برای تحلیل این تشن‌ها در نظر گرفته شده است. در حالت اول در چهار طرف صفحه تکیگاه ساده در نظر گرفته شده است و در حالت دوم دو طرف صفحه تکیگاه ساده و دو طرف دیگر آن آزاد فرض شده است. نتایج به دست آمده بیان‌گر وجود تشن‌های میان‌لایه‌بی در لبه‌های آزاد است. نیر و بهرامی<sup>[۲۷]</sup> نظریه‌ی لایه‌بی و نظریه‌ی تغییر شکل مرتبه اول را برای تحلیل اثرات لبه در صفحات لایه‌بی غیر متقارن تحت بارگذاری خمشی و پیچشی، به کار برند. آن‌ها با استفاده از نظریه‌ی تغییر شکل مرتبه اول ثابت‌های مجھول میدان جابه‌جایی را تعیین کرده و سپس نظریه‌ی لایه‌بی را برای تعیین تشن‌های بین لایه‌بی در ناحیه‌ی لایه‌ی مرزی استفاده کردند. میری و نیر<sup>[۲۸]</sup> تشن‌های میان‌لایه‌بی را در پوسته‌های استوانه‌بی تحت کشش مورد بررسی قرار دادند. نیر و همکاران<sup>[۲۹]</sup> با استفاده از نظریه‌ی لایه‌بی ردی توانستند تشن‌های میان‌لایه‌بی را در تیر مرکب دوار مورد بررسی قرار دهند. سروستانی و نفاذ پور<sup>[۳۰]</sup> با استفاده از نظریه‌ی لایه‌بی به بررسی تشن‌های میان‌لایه‌بی در کامپوزیت‌های لایه‌بی متعادل، متقارن و زاویه‌بی تحت گشتاور خمشی پرداخته‌اند. رضوانی و قلعه بهمن<sup>[۳۱]</sup> تشن‌های میان‌لایه‌بی را با استفاده از نظریه‌ی لایه‌بی در روق‌های مرکب متعادل متقارن تحت بارگذاری حرارتی و گزینش محوری یکنواخت به دست آورند. کردخیلی و نقابادی<sup>[۳۲]</sup> با استفاده از یک روش شبه تحلیلی ترمولاستیک دیسک‌های دوار هدفمند را مورد بررسی قرار دادند. کوچک‌زاده<sup>[۳۳]</sup> تورق را در صفحات مرکب لایه‌بی مطرح کرد که در آن صفحات مورد مطالعه تحت بارگذاری دورانی در نظر گرفته شده که دارای  $n$  لایه‌ی فیزیکی است. هر لایه به  $m$  لایه‌ی ریاضی تقسیم شده است و در مجموع  $N$  لایه و  $1 + N$  سطح وجود دارد. چنان‌که در شکل ۱ مشاهده می‌شود، طول، شعاع متواسط و ضخامت پوسته‌ی استوانه‌بی به ترتیب  $2L$ ،  $R$  و  $h$  بوده و ضخامت هر لایه‌ی فیزیکی  $\frac{h}{n}$  است. چنان‌که در هندسه‌ی پوسته‌ی استوانه‌بی مشاهده می‌شود رابطه‌ی  $r$  و  $z$  چنین تعریف می‌شود.

یانگ و همکاران<sup>[۳۴]</sup> نظریه‌ی جدیدی مرکب از نظریه‌ی برشی مرتبه اول و نظریه‌ی لایه‌بی، برای محاسبه‌ی تشن‌های میان‌لایه‌بی در صفحات کامپوزیت لایه‌بی تحت بارگذاری ارائه کردند. آن‌ها در این مطالعه به بررسی اثر زاویه‌ی لایه‌گذاری بر تشن‌ها پرداختند. در سال ۲۰۱۵ هندلولو و همکاران<sup>[۳۵]</sup> نظریه‌ی مرتبه بالای بهبود یافته را برای تعیین تشن‌های میان‌لایه‌بی در پوسته‌ی مرکب به کار برند. گسومانی و بکر<sup>[۳۶]</sup> با استفاده از انعطاف‌پذیر مورد بررسی تشن‌های میان‌لایه‌بی را در صفحات ساندویچی با هسته‌ی انعطاف‌پذیر مورد بررسی قرار دادند. الیاس و همکارانش<sup>[۳۷]</sup> نیز با استفاده از این نظریه اثرات لبه را در سازه‌ی هندسه‌ی پوسته‌ی استوانه‌بی مورد بررسی قرار دادند. یانگ و همکارانش<sup>[۳۸]</sup> با ترکیب دو نظریه‌ی لایه‌بی و نظریه‌ی برشی مرتبه اول به تحلیل تشن‌های میان‌لایه‌بی تحت بارگذاری چندگانه و همچنین اثرات لایه‌گذاری بر میزان تشن‌های میان‌لایه‌بی را مطالعه کردند. یزدانی و همکارانش<sup>[۳۹]</sup> از روش پرتابی برای تحلیل تشن‌های میان‌لایه‌بی در روق‌های کامپوزیتی استفاده کردند. طهانی و نیر<sup>[۴۰]</sup> برای مطالعه‌ی تشن‌های میان‌لایه‌بی در صفحات کامپوزیتی متقارن تحت کنش کششی از نظریه‌ی لایه‌بی ردی استفاده کردند. تشن‌های میان‌لایه‌بی در پوسته‌های استوانه‌بی ساخته شده از مواد هدفمند تحت بار دینامیکی توسط یاس و همکارانش<sup>[۴۱]</sup> با استفاده از نظریه‌ی لایه‌بی مورد بررسی قرار گرفت. احمدی و عطایی<sup>[۴۲]</sup> تشن‌های سه بعدی حرارتی در پوسته‌های

در رابطه‌ی  $\omega^j$ ،  $\omega^j$  عبارت است از:

$$\omega^j = \omega^r \int_{-\frac{h}{r}}^{\frac{h}{r}} \rho_j \Phi^j dz \quad (13)$$

$$\omega^j = \begin{cases} \frac{\omega^r h_1}{r} \rho_1 & j = 1 \\ \frac{\omega^r h_{j-1}}{r} \rho_{j-1} + \frac{\omega^r h_j}{r} \rho_j & 1 < j < N+1 \\ \frac{\omega^r h_N}{r} \rho_N & j = N+1 \end{cases} \quad (14)$$

همچنین متوجه‌های تنش مطابق تعريف عبارت است از:

$$(M_x^j, R_\theta^j, M_\theta^j) = \int_{-\frac{h}{r}}^{\frac{h}{r}} (\sigma_{xx}, \sigma_{xz}, \sigma_{\theta\theta}) \Phi^j dz \quad (15)$$

$$(N_z^j, Q_x^j) = \int_{-\frac{h}{r}}^{\frac{h}{r}} (\sigma_{zz}, \sigma_{xz}) \frac{d\Phi^j}{dz} dz \quad (16)$$

که در آن  $\rho$  چگالی هر لایه  $h_j$  ضخامت لایه  $j$ ام و سرعت دوران زاویه‌ی پوسته‌ی استوانه‌ی است. معادلات کرنش - تنش چنین بیان می‌شود:

$$\begin{Bmatrix} \sigma_{xx} \\ \sigma_{\theta\theta} \\ \sigma_{zz} \\ \sigma_{x\theta} \end{Bmatrix}^i = \begin{Bmatrix} \bar{c}_{11} & \bar{c}_{12} & \bar{c}_{13} \\ \bar{c}_{12} & \bar{c}_{22} & \bar{c}_{23} \\ \bar{c}_{13} & \bar{c}_{23} & \bar{c}_{33} \\ \bar{c}_{14} & \bar{c}_{24} & \bar{c}_{34} \end{Bmatrix}^i \begin{Bmatrix} \varepsilon_{xx} \\ \varepsilon_{\theta\theta} \\ \varepsilon_{zz} \end{Bmatrix} \quad (17)$$

$$\{\sigma_{xz}\}^i = [\bar{c}_{55}]^i \{\varepsilon_{xz}\}^i \quad (18)$$

که در آن  $\{\sigma\}$  ماتریس تنش،  $\{\varepsilon\}$  ماتریس کرنش، و  $[\bar{C}]$  ماتریس سفتی کاوش‌یافته‌ی لایه‌ی  $i$ ام است. با جاگذاری روابط کرنش - جابه‌جایی در روابط متوجه‌های تنش، این متوجه‌ها بر حسب میدان جابه‌جایی عبارت خواهند بود از:

$$M_x^i = D_{11}^{ij} u'_j + \left(\frac{1}{R} D_{1r}^{ij} + B_{1r}^{ij}\right) w_j \quad (19)$$

$$Q_x^i = B_{55}^{ji} w'_j + A_{55}^{ij} u_j \quad (20)$$

$$M_\theta^i = D_{1r}^{ij} u'_j + \left(\frac{1}{R} D_{rr}^{ij} + B_{rr}^{ij}\right) w_j \quad (21)$$

$$N_z^i = B_{1r}^{ji} u'_j + \left(\frac{1}{R} B_{2r}^{ji} + A_{2r}^{ij}\right) w_j \quad (22)$$

$$R_x^i = D_{55}^{ij} w'_j + B_{55}^{ij} u_j \quad (23)$$

ضرایب سفتی مذکور در روابط فوق در قسمت پوست آورده شده است. با فرار دادن روابط متوجه‌های تنش بر حسب جابه‌جایی در روابط تعادل و بازنویسی آن‌ها، این روابط چنین بیان می‌شود:

$$D_{11}^{ij} \frac{d^r u_j}{dx^r} + \left(\frac{1}{R} D_{1r}^{ij} + B_{1r}^{ij} - B_{55}^{ji}\right) \frac{dw_j}{dx} \quad (24)$$

$$A_{55}^{ij} u_j = 0 \quad (24)$$

$$D_{55}^{ij} \frac{d^r w_j}{dx^r} - \left(B_{1r}^{ji} - B_{55}^{ij} + \frac{1}{R} D_{rr}^{ij}\right) \frac{du_j}{dx} \quad (25)$$

$$- \left(A_{rr}^{ij} + \frac{1}{R} D_{rr}^{ij} + \frac{1}{R} (B_{1r}^{ji} + B_{2r}^{ji})\right) w_j + R \omega^i = 0 \quad (25)$$

$$r = R + z = R(1 + \frac{z}{R})$$

$$\frac{\partial}{\partial r} = \frac{\partial}{\partial z} \quad (1)$$

در پوسته‌ی استوانه‌ی مورد بررسی، نسبت ضخامت پوسته به شعاع آن بسیار کم‌تر از ۱ است ( $\frac{h}{R} \ll 1$ ). بنابراین فرض می‌شود شعاع میانگین پوسته تقریباً برابر شعاع آن است. به علاوه، مشاهده می‌شود که مشتق نسبت به  $r$  برابر مشتق نسبت به  $z$  است. در ادامه، از روابط مشتق نسبت به  $z$  به جای مشتق نسبت به  $r$  استفاده می‌شود. معادلات جابه‌جایی نیز چنین در نظر گرفته می‌شود:

$$u(x, z) = \sum_{j=1}^{N+1} u_j(x) \Phi^j(z) \quad (2)$$

$$w(x, z) = \sum_{j=1}^{N+1} w_j(x) \Phi^j(z) \quad (3)$$

که در آن  $u_j$  و  $w_j$  مقادیر گردی در جهات  $x$  و  $z$  و هر لایه است. به علت تقارن محوری در هندسه و بارگذاری پوسته‌ی استوانه‌ی دوران میدان جابه‌جایی وابسته به  $\theta$  نیست و به علت تعلم میدان جابه‌جایی در جهت  $y$  صفر است.  $\phi$  یک تابع درون یاب لاغرانژ موضعی است:

$$\Phi^j(z) = \begin{cases} \Psi_1^{(j-1)} = \frac{z-z_{j-1}}{t_{j-1}}, & z_{j-1} \leq z \leq z_j \\ \Psi_2^{(j)} = \frac{(z_{(j+1)}-z)}{t_j}, & z_j \leq z \leq z_{j+1} \end{cases} \quad (4)$$

که در آن  $\Psi_i^j$  و  $t_j$  تابع درون یاب لاغرانژ محلی برای سطح  $j$ ام است. روابط کرنش - جابه‌جایی با توجه به میدان جابه‌جایی عبارت اند از:

$$\varepsilon_{xx} = \frac{\partial u}{\partial x} = \frac{\partial u_j}{\partial x} \Phi^j \quad (5)$$

$$\varepsilon_{\theta\theta} = \frac{\partial u}{\partial \theta} + \frac{w}{R} = \frac{w_j}{R} \Phi^j \quad (6)$$

$$\varepsilon_{zz} = \frac{\partial w}{\partial r} = \frac{\partial \Phi^j}{\partial z} w_j \quad (7)$$

$$\gamma_{xz} = \frac{\partial u}{\partial r} + \frac{\partial w}{\partial x} = u_j \frac{\partial \Phi^j}{\partial z} + \frac{\partial w_j}{\partial x} \Phi^j \quad (8)$$

با استفاده از اصل هامیلتون روابط تعادل برای  $(N+1)$  مجھول میدان جابه‌جایی نوشته می‌شود:

$$\frac{\partial M_x^j}{\partial x} - Q_x^j = 0 \quad (9)$$

$$\frac{\partial R_x^j}{\partial x} - N_z^j - \frac{1}{R} M_\theta^j + R \omega^j = 0 \quad (10)$$

در شرایط مرزی تکیه‌گاه آزاد در دو سمت پوسته‌ی استوانه‌ی عبارت خواهد بود از:

$$R_x^i = 0 \quad i = 1, \dots, N+1 \quad (11)$$

$$M_x^i = 0$$

در تکیه‌گاه گیردار، شرایط مرزی در  $L = \pm L$  چنین بیان می‌شود.

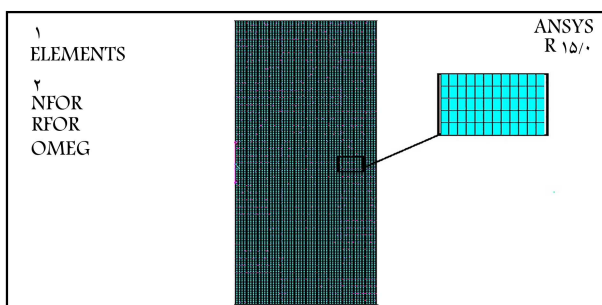
$$u(x) = 0$$

$$w(x) = 0 \quad (12)$$

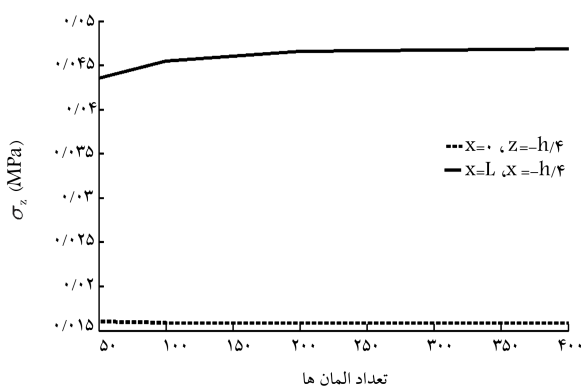
### ۳. نتایج عددی

در این بخش، پوسته‌ی استوانه‌ی لایه‌ی هیبریدی متعامد تحت دوران مورد بررسی قرار می‌گیرد. پوسته‌ی استوانه‌ی کامپوزیتی هیبریدی دارای شعاع  $R = 30\text{ mm}$  طول  $2L$ ، ضخامت  $\sigma_z = \frac{L}{h} = 4\text{ mm}$  و سرعت دورانی  $z = 20.0\text{ Hz}$  است. تمامی لایه‌های فیزیکی ضخامت یکسان  $h/4$  دارند. کامپوزیت هیبریدی شامل ۴ لایه‌ی گرافیت اپوکسی/کولار اپوکسی در نظر گرفته شده است که خصوصیات مکانیکی مواد در جدول ۱ آورده شده است. لایه‌های بیرونی از جنس گرافیت/اپوکسی و لایه‌های وسطی از جنس کولار/اپوکسی است.

برای صحبت‌سنگی نتایج نظریه‌ی لایه‌یی، از روش اجزاء محدود استفاده شده است. از نرم‌افزار انسیس برای مدل سازی پوسته‌ی استوانه‌ی دوار استفاده شده است. مسئله‌ی مورد نظر، به عمل تقارن هندسی و بارگذاری نسبت به محور  $\theta$ ، به صورت دو بعدی مدل شده و برای تحلیل، اجزای متقارن محوری ۱۸۶ solid مورد استفاده قرار گرفته است. برای پیش‌بینی دقیق تنش‌های بین لایه‌یی تعادل المان‌ها در راستای طول پوسته  $200$  و در راستای ضخامت پوسته  $240$  است. مشبندی پوسته به صورت منظم انجام شده و سرعت دورانی  $200$  هرتز بر آن اعمال می‌شود (شکل ۲) با افزایش تعداد اجزای مدل مورد نظر، دقت نتایج اجزای محدود افزایش می‌یابد. با توجه به این که ضخامت پوسته به  $48$  لایه عددی تقسیم شده، مشاهده می‌شود که تعداد المان‌های روش اجزاء محدود حداقل  $5$  برابر تعداد لایه‌های روش لایه‌یی است. هم‌گرایی روش‌های اجزای محدود با افزایش تعداد اجزا در راستای ضخامت در شکل ۳ نشان داده شده است. برای این منظور تنش میان لایه‌یی  $\sigma_z$  در نقاط  $(z = -h/4, x = 0)$  و  $(z = -h/4, x = L)$  برای روش اجزای محدود بر حسب تعداد المان در راستای ضخامت نشان داده شده است. ملاحظه می‌شود که



شکل ۲. مشبندی مدل در اجزای محدود.



شکل ۳. تنش میان لایه‌یی  $\sigma_z$  در پوسته‌ی استوانه‌یی با لایه‌گذاری  $h/4$  در روش اجزاء محدود.

به منظور ساده‌سازی و محاسبه‌ی میدان جابه‌جاوی، متغیرهای خاصی در نظر گرفته شده که با استفاده از آن‌ها دستگاه معادلات دیفرانسیل به دو دستگاه معادلات دیفرانسیلی به فرم ماتریسی تبدیل می‌شود:

$$\{\eta\} = \begin{Bmatrix} \{U(x)\} \\ \{W'(x)\} \end{Bmatrix} \quad (26)$$

$$\{\xi\} = \begin{Bmatrix} \{U'(x)\} \\ \{W(x)\} \end{Bmatrix} \quad (27)$$

با جای‌گذاری این متغیرها در معادلات تعادل و جداسازی ضرایب مجهولات خواهیم داشت:

$$\{\xi'\} = [A]\{\eta\} \quad (28)$$

$$\{\eta'\} = [B]\{\xi\} + \{f\} \quad (29)$$

$$[A][B] = [C] \quad , \quad [C][U] = [U][\Lambda'] \quad (30)$$

در این روابط  $[A]$ ,  $[B]$  و  $\{f\}$  در قسمت پوسته ارائه شده است.  $[U]$  و  $[\Lambda']$  بردار و مقادیر ویژه‌ی ماتریس  $[C]$  هستند. با حل معادلات فوق مقادیر میدان جابه‌جاوی محاسبه می‌شود:

$$\{\xi\} = [U][\cosh(\lambda x)]\{K_i\} + [U][\sinh(\lambda x)]\{K_t\} - [B]^{-1}\{F\} \quad (31)$$

$$\{\eta\} = [B][U][\Lambda]^{-1}[\sinh(\lambda x)]\{K_i\} + [B][U][\Lambda]^{-1}[\cosh(\lambda x)]K_t \quad (32)$$

$\{K_i\}$  و  $\{K_t\}$  ماتریس‌هایی با  $(2N+2)$  مؤلفه‌ی مجهول است که با استفاده از شرایط مرزی مورد نظر محاسبه می‌شود. با به دست آوردن مجهولات  $\{K_i\}$  و  $\{K_t\}$  میدان جابه‌جاوی و در نهایت تنش‌های میان لایه‌یی محاسبه می‌شود. در شرایط مرزی تکیه‌گاه آزاد با توجه به رابطه‌ی  $10$  و در شرایط مرزی گیردار با  $\{k_{11}\}$  و  $\{K_1\}$ ,  $x = \pm L$ , با اعمال شرایط مرزی در نقاط  $x = \pm L$ ,  $\{k_{11}\}$  و  $\{K_1\}$  محسوبه می‌شود. در صورتی که شرایط مرزی در  $L$  یکسان باشد، مشاهده می‌شود که  $\{\eta\}$  تابعی فرد و  $\{\xi\}$  تابعی زوج از  $x$  هستند. درنتیجه  $\{K_t\} = 0$  خواهد بود. در این صورت  $\{K_i\}$  با اعمال شرایط مرزی در یکی از  $x = L$  یا  $x = -L$  به دست خواهد آمد. در شرایط مرزی آزاد داریم:

$$\left[ B_{\frac{1}{2},\frac{1}{2}}^{ij} \quad D_{\frac{1}{2},\frac{1}{2}}^{ij} \right] [B][U][\Lambda]^{-1}[\sinh(\lambda x)]\{K_i\} = 0 \quad (33)$$

$$\left[ D_{11}^{ij} \quad \left( \frac{1}{R} D_{11}^{ij} + B_{12}^{ij} \right) \right] [U][\cosh(\lambda x)]\{K_t\} = 0 \quad (34)$$

و با اعمال معادلات ۱۱ در شرایط مرزی گیردار خواهیم داشت:

$$[P_1][B][U][\Lambda]^{-1}[\sinh(\lambda x)]\{K_i\} = 0 \quad (35)$$

$$[P_t][U][\cosh(\lambda x)]\{K_t\} = [P_t][B]^{-1}\{F\} \quad (36)$$

که در معادلات ۳۴ و ۳۵،  $[P_1]$  و  $[P_t]$  عبارت‌اند از:

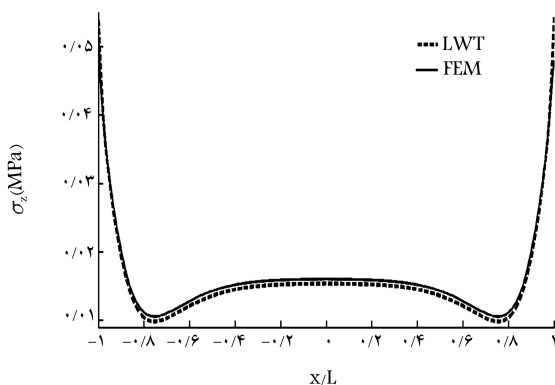
$$[P_1] = \begin{bmatrix} I & O \end{bmatrix} \quad (37)$$

$$[P_t] = \begin{bmatrix} O & I \end{bmatrix} \quad (38)$$

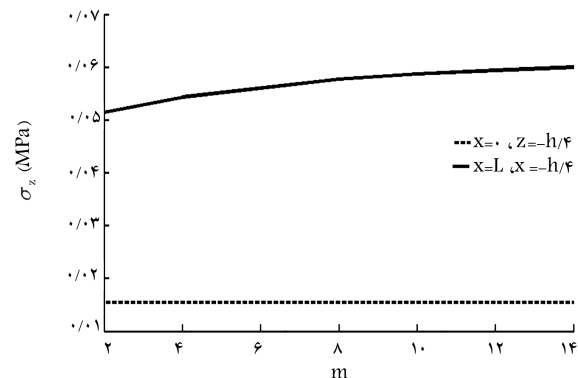
$I$  ماتریس همانی  $(N+1) \times (N+1)$  و  $O$  ماتریس صفر  $(N+1) \times (N+1)$  در است.

جدول ۱. خصوصیات مکانیکی مواد مورد استفاده در کامپوزیت هیبریدی. [۳۵]

$E_1$ $Gpa$	$E_2 = E_3$ $GPa$	$v_{12} = v_{13}$	$v_{23}$	$G_{12} = G_{13}$ $Gpa$	$G_{23}$ $Gp$	نام ماده
۱۳۶	۹,۸	۰,۲۸	۰,۱۵	۴,۷۹	۴,۲۶	گرافیت
۸۰	۵,۵	۰,۳۴	۰,۴	۲,۲	۱,۸	اپوکسی کولار اپوکسی



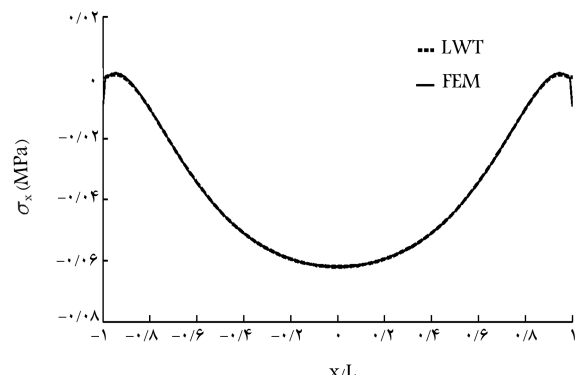
شکل ۶. توزیع تنش میان لایه‌یی  $\sigma_z$  در راستای طول پوسته‌ی استوانه‌یی با لایه‌گذاری  $[90/0]_s$  در نظریه‌ی لایه‌یی.



شکل ۴. تنش میان لایه‌یی  $\sigma_z$  در پوسته‌ی استوانه‌یی با لایه‌گذاری  $[90/0]_s$  در نظریه‌ی لایه‌یی.

که نظریه‌ی لایه‌یی در مقایسه با نظریه‌ی اجزاء محدود با تعداد المان بسیار کم‌تر (حدود ۹۰٪ کمتر) قادر است تنش‌های میان لایه‌یی را پیش‌بینی کند. بنابراین برای افزایش دقت نتایج در روش اجزاء محدود از ۲۴۰ المان در راستای ضخامت و در نظریه‌ی لایه‌یی از ۴۸ لایه ریاضی در راستای ضخامت استفاده شده است.

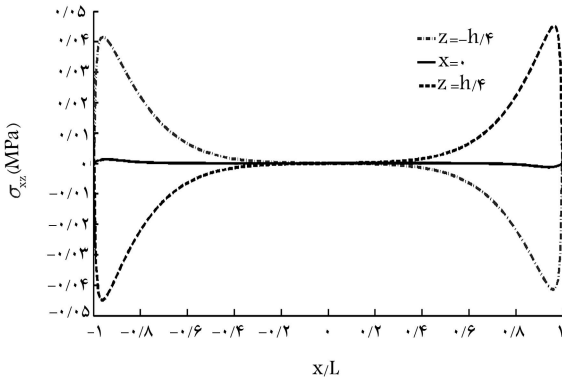
تنش محوری  $\sigma_x$  در صفحه‌ی بین لایه‌یی  $[90/0]_s$  در شکل ۵ نشان داده شده است. این نمودار نشان می‌دهد تنش‌های به دست آمده از نظریه‌ی لایه‌یی و روش اجزاء محدود در نواحی دور از لبه‌های آزاد، انتباخت دقیقی با یکدیگر دارند. در لبه‌های آزاد با توجه به این که انتظار می‌رود تنش درون صفحه‌ی  $\sigma_x$  دارای مقدار صفر باشد، نتیجه‌ی به دست آمده از نظریه‌ی لایه‌یی مقدار دقیق‌تری را نشان می‌دهد و روش اجزاء محدود قادر به پیش‌بینی دقیق این مقدار نیست.



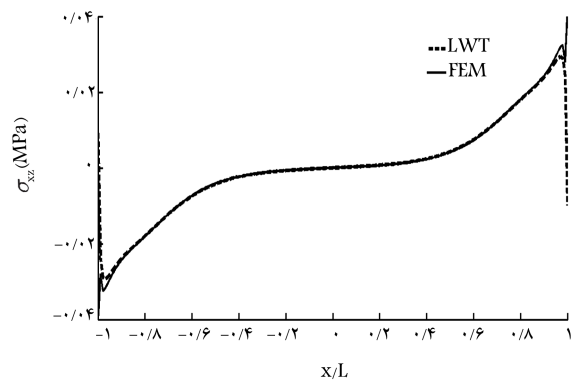
شکل ۵. توزیع تنش محوری  $\sigma_x$  در راستای طول پوسته‌ی استوانه‌یی با لایه‌گذاری  $[90/0]_s$  در نظریه‌ی لایه‌یی.

در شکل ۶ توزیع تنش میان لایه‌یی  $\sigma_z$  در صفحه‌ی بین دو لایه  $[90/0]_s$  در راستای طول پوسته‌ی استوانه‌یی نشان داده شده است. مشاهده می‌شود که در نزدیکی لبه‌ی آزاد پوسته‌ی تنش میان لایه‌یی در ناحیه‌ی مرزی ناگهان افزایش یافته و تقریباً ۴ برابر ناحیه‌ی دور از لبه‌ی آزاد می‌شود. همانطور که در شکل ۷ مشاهده می‌شود تغییرات تنش در فاصله‌یی تقریباً به اندازه‌ی ضخامت لایه‌ی پوسته‌ی مرکب ایجاد می‌شود. به همین علت معمولاً لایه‌ی مرزی تنش به اندازه‌ی ضخامت لایه‌ی پوسته‌ی استوانه‌یی دوار در نظرگرفته می‌شود. در شکل ۷ توزیع تنش بشری  $\sigma_{xz}$  در راستای محوری پوسته نشان داده شده است. تغییر ناگهانی تنش بشری میان لایه‌یی در ناحیه‌ی مرزی می‌شود. تنش بیشینه‌ی به دست آمده از نظریه‌ی لایه‌یی در فاصله‌ی  $x = 0$  و  $x = L$  نشان می‌دهد که برای تنش میان لایه‌یی  $\sigma_z$  در هر در روش در  $x = 0$  به سرعت هم‌گرا شده و نتایج بسیار نزدیک به یکدیگر است؛ در هر دو روش تقریباً تنشی برابر با  $15 \text{ MPa}$  محسوبه می‌شود. با نزدیک شدن به لبه‌ی پوسته‌ی استوانه‌ی کامپوزیتی در  $x = L$  (لبه)، روش اجزاء محدود با بیش از ۱۰۰ المان در راستای ضخامت به هم‌گرایی می‌رسد، در حالی که نظریه‌ی لایه‌یی با حدود ۱۲ لایه به نتیجه قابل قبولی می‌رسد. در شکل‌های ۳ و ۴ مشاهده می‌شود

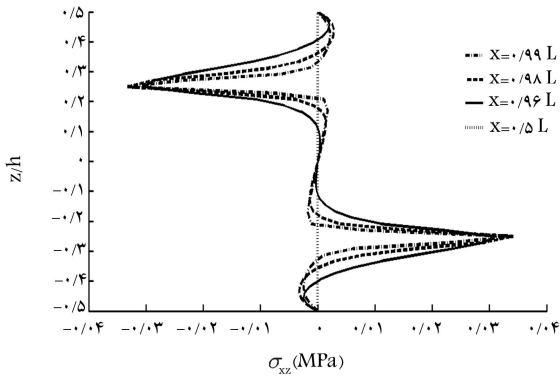
مقایسه‌ی شکل‌های ۳ و ۴ نشان می‌دهد که برای تنش میان لایه‌یی  $\sigma_z$  در هر دو روش در  $x = 0$  به سرعت هم‌گرا شده و نتایج بسیار نزدیک به یکدیگر است؛ در هر دو روش تقریباً تنشی برابر با  $15 \text{ MPa}$  محسوبه می‌شود. با نزدیک شدن به لبه‌ی پوسته‌ی استوانه‌ی کامپوزیتی در  $x = L$  (لبه)، روش اجزاء محدود با بیش از ۱۰۰ المان در راستای ضخامت به هم‌گرایی می‌رسد، در حالی که نظریه‌ی لایه‌یی با حدود ۱۲ لایه به نتیجه قابل قبولی می‌رسد. در شکل‌های ۳ و ۴ مشاهده می‌شود



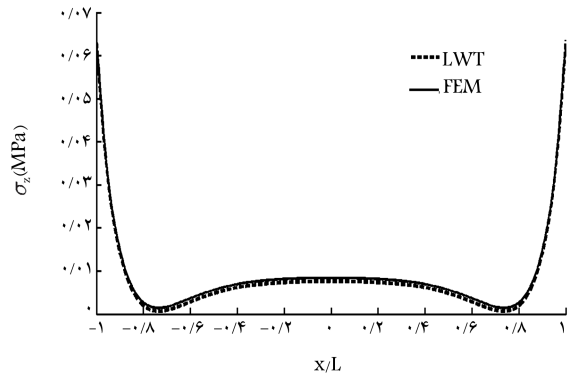
شکل ۱۰. توزیع تنش برشی میان‌لایه‌یی  $\sigma_{zz}$  در راستای طول پوسته‌ی استوانه‌یی با لایه‌گذاری  $s = 90^\circ$  در سطح میان‌لایه‌یی.



شکل ۷. توزیع تنش برشی  $\sigma_{zz}$  در راستای طول پوسته‌ی استوانه‌یی با لایه‌گذاری  $s = 90^\circ$  در سطح میان‌لایه‌یی.



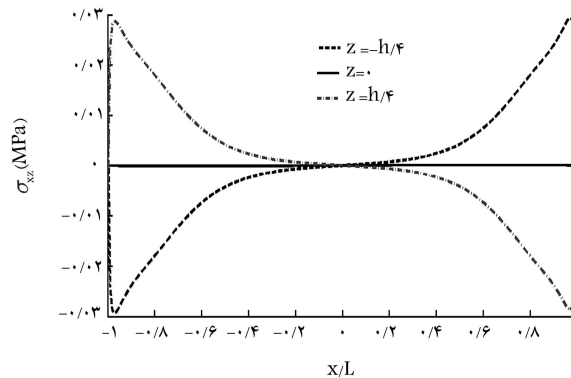
شکل ۱۱. توزیع تنش برشی میان‌لایه‌یی  $\sigma_{zz}$  در راستای ضخامت پوسته‌ی استوانه‌یی با لایه‌گذاری  $s = 90^\circ$  در نواحی مرزی.



شکل ۸. توزیع تنش  $\sigma_z$  در راستای طول پوسته‌ی استوانه‌یی با لایه‌گذاری  $s = 90^\circ$  در سطح میان‌لایه‌یی.

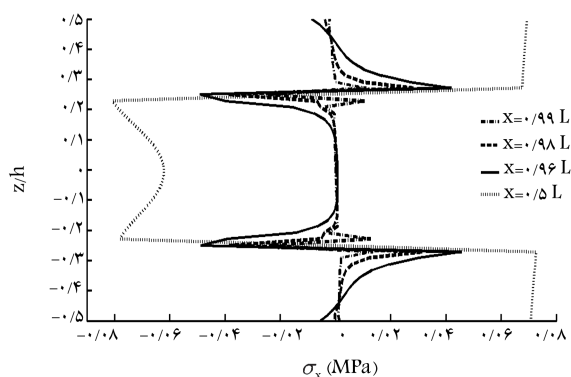
افزایش یافته و سپس کاهش می‌یابد. این تغییرات در  $x = 0$  شروع شده و تا  $x = L$  ادامه می‌یابد. بنا براین مشاهده می‌شود که ناحیه‌ی مرزی، تقریباً برابر با ضخامت پوسته‌ی استوانه‌یی است. بیشترین مقدار تنش در دو سطح بین لایه‌یی  $z = \frac{h}{4}$  و  $z = \frac{3h}{4}$  قرینه‌ی یکدیگر بوده و از لحاظ اندازه با هم برابرند. مقایسه‌ی بیشترین مقدار تنش در دو لایه‌گذاری  $s = 90^\circ$  و  $s = 90^\circ$  نشان می‌دهد که این مقدار در لایه‌گذاری  $s = 90^\circ$  بیشتر از بیشینه تنش در لایه‌گذاری  $s = 90^\circ$  است. در حالتی که گرافیت اپوکسی به صورت محیطی لایه‌گذاری شود، تنش برشی کمتری در سطح میان‌لایه مشاهده می‌شود.

در شکل‌های ۱۱ و ۱۲ نیز شرایط مرزی با استفاده از نظریه‌ی لایه‌یی به خوبی ارضا شده و مقدار تنش برشی در لایه‌های آزاد صفر است. بیشینه تنش برشی در هر دو لایه‌گذاری  $s = 90^\circ$  در سطح بین لایه‌های با خواص مکانیکی و لایه‌گذاری متفاوت رخ می‌دهد. بیشترین مقدار تنش در لایه‌گذاری  $s = 90^\circ$  تقریباً برابر  $0.05 MPa$  است در حالی که بیشینه تنش برشی به دست آمده در لایه‌گذاری  $s = 90^\circ$  تقریباً  $0.035 MPa$  است. دلیل این تفاوت اختلاف در لایه‌گذاری و مقاومت در برابر تنش برشی به علت تفاوت خواص مکانیکی است. توزیع تنش  $\sigma_z$  در ضخامت پوسته‌ی استوانه‌یی  $s = 90^\circ$  در نزدیکی لبه آزاد در شکل ۱۳ نشان داده شده است. با نزدیک شدن به لبه‌ی پوسته تغییرات تنش  $\sigma_z$  شدت بیشتری دارد. با توجه به شکل ۱۳ تنش میان‌لایه‌یی در لایه‌ی صفر به صورت کششی و مشبт بوده و در لایه‌های  $90^\circ$  به صورت فشاری است. بیشترین مقدار تنش در مقدار خود می‌رسد. در ناحیه‌ی مرزی مقدار تنش برشی میان‌لایه‌یی  $\sigma_{zz}$  ناگهان

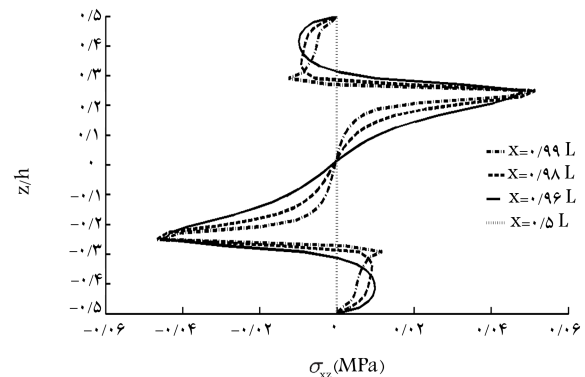


شکل ۹. توزیع تنش برشی میان‌لایه‌یی  $\sigma_{zz}$  در راستای طول پوسته‌ی استوانه‌یی با لایه‌گذاری  $s = 90^\circ$  در سطح میان‌لایه‌یی.

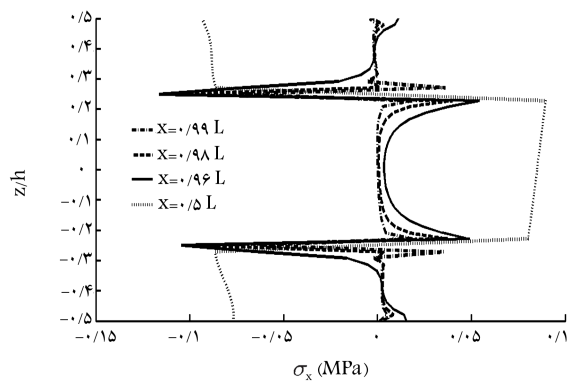
توزیع تنش میان‌لایه‌یی  $\sigma_z$  در راستای محور پوسته‌ی استوانه‌یی در شکل ۸ نشان داده شده است. مقایسه‌ی دو شکل ۵ و ۸ نشان می‌دهد که بیشترین مقدار به دست آمده برای تنش میان‌لایه‌یی  $\sigma_z$  در صفحه‌ی بین لایه‌ی  $0^\circ$  و  $90^\circ$ ، تقریباً  $0.05 MPa$  تراز بیشینه تنش میان‌لایه‌یی  $\sigma_z$  به دست آمده در وسط لایه‌ی صفر است. در شکل‌های ۹ و ۱۰ واضح است که به علت تفاوت لایه‌گذاری و اختلاف در خواص مکانیکی لایه‌ها، مقدار تنش در سطح بین لایه‌های  $0^\circ$  و  $90^\circ$  و  $(\frac{h}{4} = z)$  در نزدیکی لبه آزاد افزایش یافته و در  $L = 0.97L$  به  $x = 0$  به بیشترین مقدار خود می‌رسد. در ناحیه‌ی مرزی مقدار تنش برشی میان‌لایه‌یی  $\sigma_{zz}$  ناگهان



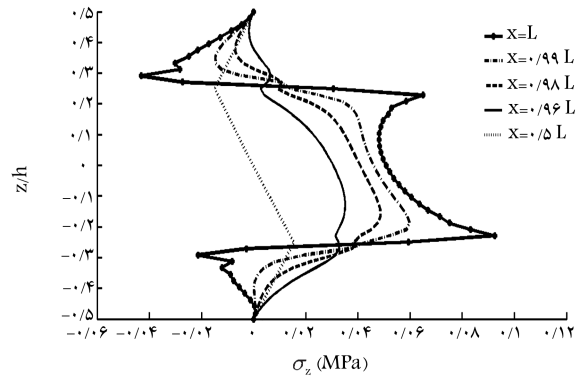
شکل ۱۵. توزیع تنش عمودی  $\sigma_x$  در راستای ضخامت پوسته‌ی استوانه‌ی با لایه‌گذاری  $[90/0]_s$  در نواحی مرزی.



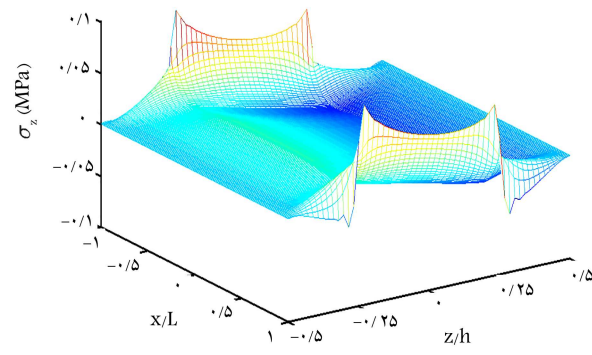
شکل ۱۶. توزیع تنش برشی میان لایه‌ی  $\sigma_{xz}$  در راستای ضخامت پوسته‌ی استوانه‌ی با لایه‌گذاری  $[90/0]_s$  در نواحی مرزی.



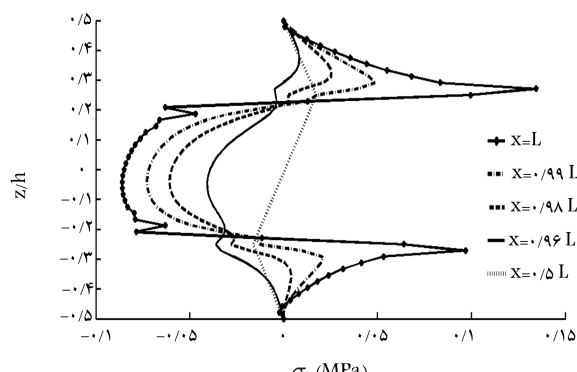
شکل ۱۷. توزیع تنش میان لایه‌ی  $\sigma_z$  در راستای طول و ضخامت پوسته‌ی استوانه‌ی با لایه‌گذاری  $[90/0]_s$  در نواحی مرزی.



شکل ۱۸. توزیع تنش برشی میان لایه‌ی  $\sigma_z$  در راستای ضخامت پوسته‌ی استوانه‌ی با لایه‌گذاری  $[90/0]_s$  در نواحی مرزی.



شکل ۱۹. توزیع تنش میان لایه‌ی  $\sigma_z$  در راستای طول و ضخامت پوسته‌ی استوانه‌ی با لایه‌گذاری  $[90/0]_s$ .



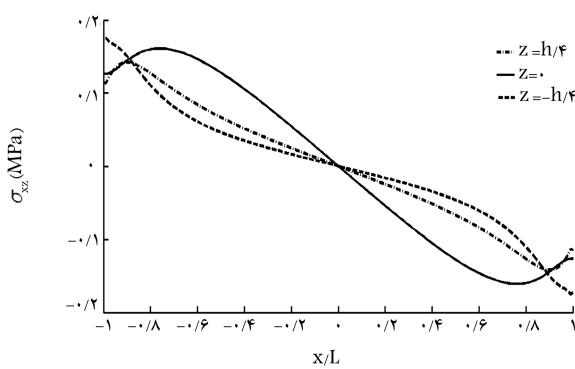
شکل ۲۰. توزیع تنش برشی میان لایه‌ی  $\sigma_z$  در راستای ضخامت پوسته‌ی استوانه‌ی با لایه‌گذاری  $[90/0]_s$  در نواحی مرزی.

تنش در نواحی نزدیک لبه در سطح بین لایه‌ها در لایه‌گذاری  $[90/0]_s$  بیشتر از بیشینه‌تنش  $\sigma_x$  در لایه‌گذاری  $[0/90]_s$  است.

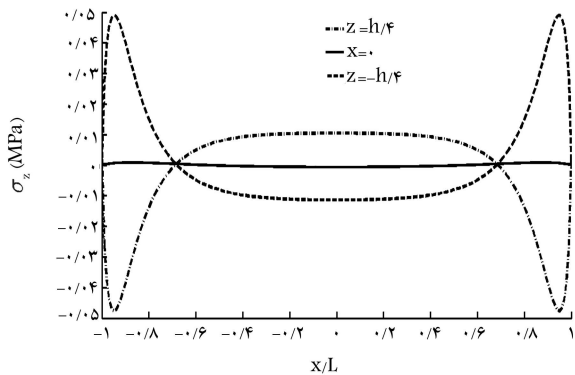
برای مشاهده‌ی بهتر تغییرات تنش و برسی اثر لبه در پوسته‌ی استوانه‌ی شکل‌های ۱۷ و ۱۸ ترسیم شده است. در شکل ۱۷ تنش میان لایه‌ی  $\sigma_z$  تغییرات شدیدی در اطراف لبه نشان می‌دهد. در نواحی دور از لبه تغییرات تنش  $\sigma_z$  کاهش یافته و به مقدار صفر می‌رسد. این تنش در لایه‌ی  $90^\circ$  به علت استحکام بالای گرافیت اپوکسی نسبت به لایه‌ی صفر، تغییرات کمتری دارد. به علاوه تنش میان لایه‌ی  $\sigma_z$  در لایه  $90^\circ$  به صورت فشاری بوده و در سطح بین لایه  $90^\circ$  و صفر تغییر کرده و به

با وسط پوسته ( $x = 0.05L$ ) بسیار بیشتر است. در سطوح آزاد پوسته مقدار تنش به صفر می‌رسد که نشان‌دهنده‌ی دقیق نظریه‌ی لایه‌ی در پیش‌بینی شرایط مرزی است. توزیع این تنش در لایه‌گذاری  $[0/90]_s$  در شکل ۱۴ نشان داده شده است. همان‌طور که مشاهده می‌شود علاوه بر تغییر علامت تنش در لایه‌ها (کششی و فشاری بودن لایه‌ها)، بیشترین مقدار تنش نیز به علت تفاوت در خواص مکانیکی لایه‌ها واستحکام آن‌ها تغییر می‌کند.

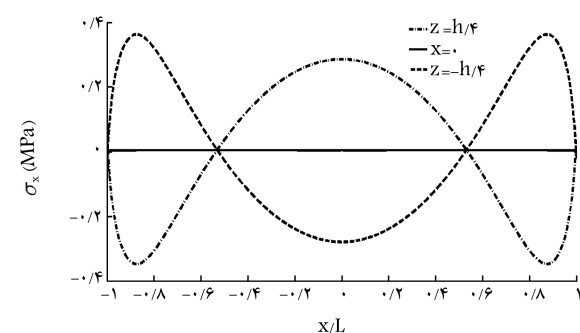
در شکل ۱۵ و ۱۶ توزیع تنش  $\sigma_x$  نسبت به ضخامت پوسته‌ی کامپوزیتی با لایه‌گذاری‌های  $[90/0]_s$  و  $[0/90]_s$  نشان داده شده است. بیشترین مقدار این



شکل ۲۱. توزیع تنش برشی میان‌لایه‌ی  $\sigma_{xz}$  در راستای طول پوسته‌ی استوانه‌ی با لایه‌گذاری  $[90/0]_s$  در سطح بین‌لایه‌ی (شرایط مرزی گیردار).



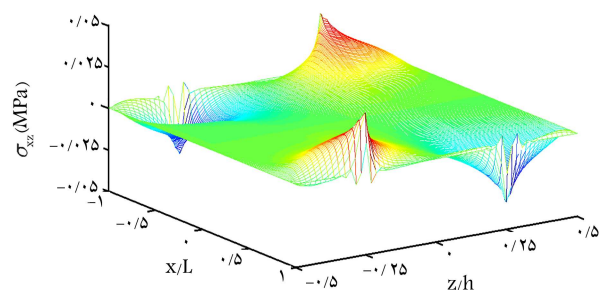
شکل ۲۲. توزیع تنش میان‌لایه‌ی  $\sigma_z$  در راستای طول پوسته‌ی استوانه‌ی با لایه‌گذاری  $[90/0]_s$  در سطح بین‌لایه‌ی (شرایط مرزی گیردار).



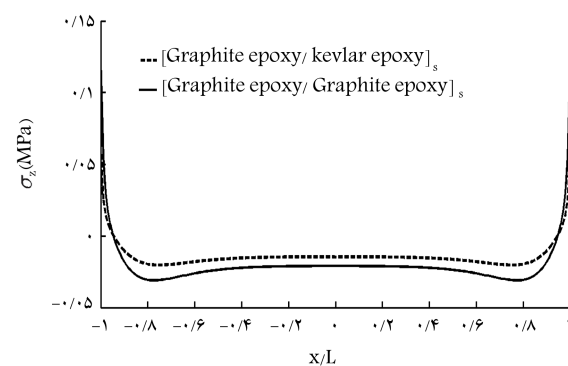
شکل ۲۳. توزیع تنش عمودی  $\sigma_x$  در راستای طول پوسته‌ی استوانه‌ی با لایه‌گذاری  $[90/0]_s$  در سطح بین‌لایه‌ی (شرایط مرزی گیردار).

شکل ۲۰ و ۲۱ نیز نشان می‌دهد که تنش برشی میان‌لایه‌ی در کامپوزیت هیبریدی در مقایسه با کامپوزیت غیر هیبریدی  $[Graphite epoxy/Kevlar epoxy]_s$  در حدود ۵۰ درصد در مقایسه با لایه‌گذاری غیر هیبریدی  $[Graphite epoxy/Kevlar epoxy]$  کمتر است. شکل ۲۰ نیز نشان می‌دهد که تنش برشی میان‌لایه‌ی در کامپوزیت هیبریدی در مقایسه با کامپوزیت غیر هیبریدی در حدود ۴۰ درصد کمتر است. بنابراین با توجه به اهمیت بدیدهی تورق و ارتباط این پدیده با تنش‌های میان‌لایه‌ی می‌توان با هیبریدی کردن لایه‌گذاری پوسته‌ی استوانه‌ی اثر تنش میان‌لایه‌ی را در ایجاد این پدیده که ممکن است منجر به شکست سازه کامپوزیتی شود، کمینه کرد.

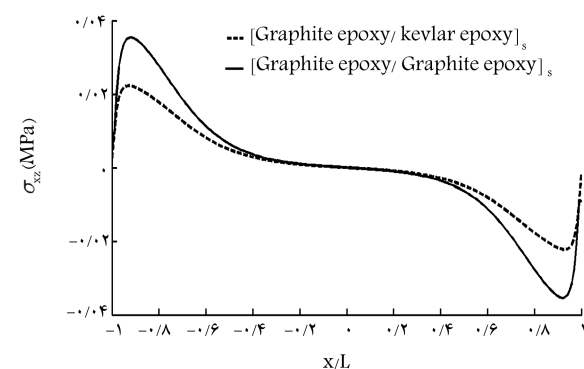
شرایط مرزی گیردار در شکل‌های ۲۰، ۲۱ و ۲۲ نشان داده شده است. در شکل ۲۱ تنش برشی  $\sigma_{xz}$  نسبت به طول پوسته‌ی استوانه‌ی نشان داده شده است.



شکل ۱۸. توزیع سه‌بعدی تنش میان‌لایه‌ی  $\sigma_{zx}$  پوسته‌ی استوانه‌ی با لایه‌گذاری  $[90/0]_s$ .

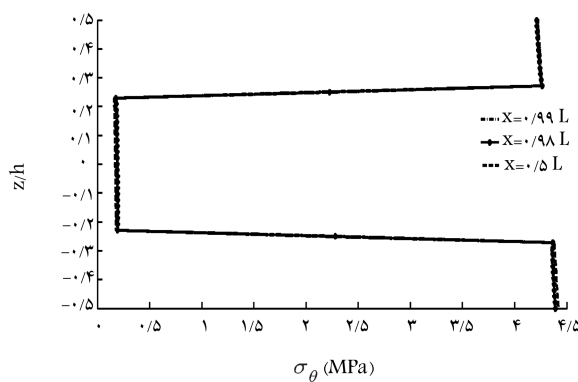


شکل ۱۹. توزیع تنش  $\sigma_z$  در راستای طول پوسته‌ی استوانه‌ی  $[Graphite epoxy/Kevlar epoxy]$   $[Graphite epoxy/Graphite epoxy]_s$  با لایه‌گذاری  $[90/0]_s$  در  $z = \frac{h}{4}$  در سطح بین‌لایه‌ی.

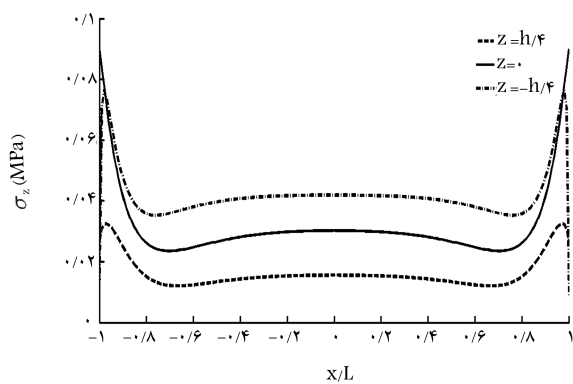


شکل ۲۰. توزیع تنش  $\sigma_{xz}$  در راستای طول پوسته‌ی استوانه‌ی  $[Graphite epoxy/Kevlar epoxy]$   $[Graphite epoxy/Graphite epoxy]_s$  با لایه‌گذاری  $[90/0]_s$  در  $z = \frac{h}{4}$ .

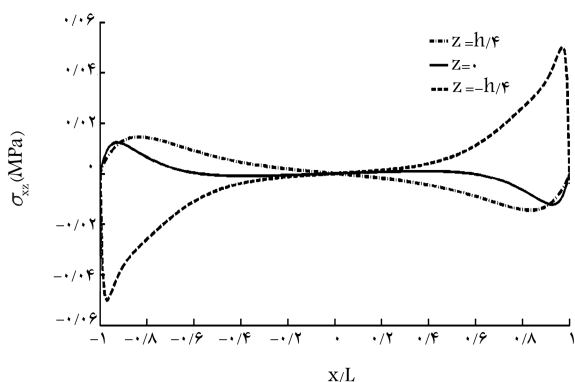
صورت کششی در لایه‌ی صفر در می‌آید. بیشترین مقدار تنش در سطح بین‌لایه ۹۰ رخ می‌دهد. در شکل ۱۸ تغییرات تنش برشی میان‌لایه‌ی  $\sigma_{xz}$  نشان داده شده است. تغییرات این تنش تنها در نواحی مرزی رخ می‌دهد. چنان که مشاهده می‌شود بیشترین مقدار تنش برشی میان‌لایه‌ی در سطح بین‌لایه‌ی وجود دارد و این مقدار به صورت کششی و فشاری با اندازه یکسان در دو لبه آزاد پوسته ایجاد شده است. در شکل‌های ۱۹ و ۲۰ توزیع تنش در پوسته‌ی کامپوزیتی هیبریدی و غیر هیبریدی مقایسه شده است. با توجه به شکل ۱۹ مقدار تنش بین‌لایه‌ی  $\sigma_z$  در لبه‌های پوسته‌ی کامپوزیتی در لایه‌گذاری هیبریدی با لایه‌گذاری متقابل



شکل ۲۴. توزیع تنش محیطی  $\sigma_\theta$  در راستای طول پوسته‌ی استوانه‌ی با لایه‌گذاری [۹۰/۰] در ناحیه‌ی مرزی.



شکل ۲۵. توزیع تنش بین لایه‌ی  $\sigma_z$  در راستای طول پوسته‌ی استوانه‌ی با لایه‌گذاری نامتقاضن [۹۰/۰/۹۰/۰] در سطوح بین لایه‌ی.



شکل ۲۶. توزیع تنش برشی بین لایه‌ی  $\sigma_{xz}$  در راستای طول پوسته‌ی استوانه‌ی با لایه‌گذاری نامتقاضن [۹۰/۰/۹۰/۰] در سطوح بین لایه‌ی.

تنش‌های به دست آمده در جهات  $x$ ,  $\theta$  و  $z$  همان تنش‌ها در جهات اصلی‌اند. رابطه‌ی تنش‌های پوسته‌ی استوانه‌ی با سرعت دورانی این پوسته‌ها از مرتبه‌ی دو است. در نتیجه، رابطه‌ی عدد سایه‌هیل با سرعت دورانی پوسته‌ی استوانه‌ی از مرتبه‌ی ۴ خواهد بود. با مقایسه‌ی بیشترین مقدار عدد سایه‌هیل به دست آمده در سرعت ۲۰۰ هرتز مشاهده می‌شود بیشینه سرعت دورانی لازم برای بیشترین مقدار عدد سایه‌هیل عبارت است از:

$$\frac{Tsai - Hill}{Tsai - Hill_{max}} = \left( \frac{\omega}{\omega_{max}} \right)^4 \quad (45)$$

در این حالت برخلاف شرایط مرزی آزاد میزان تنش برشی میان‌لایه‌ی در لایه‌ی میانی صفر، یا متقاضن نیست. مقایسه‌ی شرایط مرزی گیردار و آزاد نشان می‌دهد مقدار تنش برشی  $\sigma_{xz}$  در شرایط گیردار بسیار بیشتر از شرایط مرزی آزاد است. تنش بین لایه‌ی  $\sigma_z$  در شکل ۲۲ نشان داده شده است. مقدار این تنش در سطح میانی پوسته صفر بوده و در سایر سطوح میان‌لایه‌ی تغییر می‌کند. در سطوح بین لایه‌ی  $\sigma_z$  و مقدار تنش  $\sigma_z$  متقاضن بوده و در نزدیکی لبه به شدت افزایش می‌یابد. بیشترین مقدار تنش بین لایه‌ی نسبت به نواحی دور از لبه حدوداً ۵ برابر بیشتر است. افزایش تنش در  $x = 0/5L$  شروع شده و تا  $x = 0/97L$  افزایش می‌یابد و سپس تا مقدار صفر کاهش می‌یابد.

در شکل ۲۳ تنش عمودی  $\sigma_{xz}$  در راستای طول پوسته نشان داده شده است. مقدار این تنش در سطح میانی پوسته معادل صفر است. تغییرات تنش در سطح بین لایه‌ی  $\sigma_{xz}$  و متقاضن و با علامت مخالف است. بیشترین مقدار تنش عمودی  $\sigma_{xz}$  در شرایط مرزی گیردار  $25 MPa$  است که در مقایسه با تنش‌های میان‌لایه‌ی بسیار بیشتر است.

توزیع تنش محیطی  $\sigma_\theta$  نسبت به ضخامت پوسته در شکل ۲۴ نشان داده شده است. این تنش در نواحی مرزی و دور از لبه نشان داده شده، که با هم برابرند. مقدار این تنش در لایه‌ی  $\sigma_\theta$  در پوسته‌ی استوانه‌ی با لایه‌گذاری نامتقاضن  $[90/0/90/0]$  در شکل ۲۵ نشان داده شده است. تأثیر لایه‌گذاری در تنش میان‌لایه‌ی  $\sigma_\theta$  از مقایسه‌ی شکل‌های ۲۵ و ۶ مشاهده می‌شود. بیشینه تنش  $\sigma_z$  در لایه‌گذاری نامتقاضن در  $x = -h/4$  نشان دهنده توزیع تنش برشی میان‌لایه‌ی است. مقدار تنش برشی میان‌لایه‌ی  $\sigma_{xz}$  در سطوح‌های بین لایه‌ی  $\sigma_{xz} = \frac{h}{4}$  و  $\sigma_{xz} = -\frac{h}{4}$  دارای بیشترین مقدار  $5 MPa$  است. شکل ۲۶ نشان دهنده توزیع تنش برشی میان‌لایه‌ی است. با توجه به شکل ۷ و مقایسه‌ی آن با شکل ۷ مشاهده می‌شود که بیشینه‌ی تنش برشی میان‌لایه‌ی با تغییر لایه‌گذاری تغییر کرده است. برای بدست آوردن سرعت بحرانی پوسته‌ی استوانه‌ی دور از نظریه‌ی سایه‌هیل استفاده شده است. طبق معادله نظریه‌ی سایه‌هیل، رابطه‌ی این عدد با تنش‌های کامپوزیت از مرتبه‌ی دو است.

$$Tsai - Hill = (G + H)\sigma_1^r + (F + H)\sigma_2^r + (F + G)\sigma_3^r - 2H\sigma_1\sigma_2 - 2G\sigma_1\sigma_2 - 2F\sigma_1\sigma_2 + 2L\tau_{12}^r + 2M\tau_{13}^r + 2N\tau_{23}^r \quad (39)$$

که در آن:

$$2N = \frac{1}{S^2} \quad (40)$$

$$2L = \frac{1}{Q^2} \quad (41)$$

$$2H = \frac{1}{X^2} + \frac{1}{Y^2} - \frac{1}{Z^2} \quad (42)$$

$$2G = \frac{1}{X^2} - \frac{1}{Y^2} + \frac{1}{Z^2} \quad (43)$$

$$2F = -\frac{1}{X^2} + \frac{1}{Y^2} + \frac{1}{Z^2} \quad (44)$$

در معادلات فوق  $X$ ,  $Y$  و  $Z$  به ترتیب استحکام نهایی در جهت  $\theta$ ,  $x$  و  $z$  بوده و  $S$  و  $Q$  استحکام نهایی برشی‌اند. با توجه به متعامد بودن پوسته‌ی کامپوزیتی،

مرزی نظریه‌ی لایه‌ی دقت بیشتری در پیش‌بینی تنش‌های میان‌لایه‌ی دارد. تنش‌های بین‌لایه‌ی پیش‌بینی شده با نظریه‌ی لایه‌ی شرایط مرزی آزاد در سطوح داخلی و خارجی پوسته‌ی هیبریدی را ارضاء می‌کنند؛ و همین نشان‌گر دقت بالای این نظریه است. مقایسه‌ی مدل‌های گرافیت اپوکسی/کولار اپوکسی و گرافیت اپوکسی/گرافیت اپوکسی نشان داد هیبریدی شدن کامپوزیت در شرایطی که گرافیت اپوکسی در لایه‌ی محیطی قرار داشته باشد منجر به کاهش تنش‌های میان‌لایه‌ی شده و اثر آن بر تورق را کاهش می‌دهد. مقایسه‌ی لایه‌گذاری‌های مختلف نشان می‌دهد بیشترین مقدار تنش میان‌لایه‌ی عمودی و برشی در لایه‌گذاری  $[90/0]$  به ترتیب حدود  $0.91 \text{ MPa}$  و  $0.25 \text{ MPa}$  است، در حالی که در لایه‌گذاری  $[0/90]$  مقدادر تقریبی این تنش‌ها به ترتیب به  $0.12 \text{ MPa}$  و  $0.05 \text{ MPa}$  می‌رسد. در لایه‌گذاری غیرمتقارن  $[90/0/90/0]$  بیشینه تنش میان‌لایه‌ی  $\sigma_z$ ، تقریباً به  $0.09 \text{ MPa}$  می‌رسد و مقدار بیشینه تنش برشی در آن حدود  $0.05 \text{ MPa}$  است.

بنابراین با توجه به این که بیشترین مقدار عدد سایه‌ی هیل معادل ۱ بوده و بیشینه عدد سایه‌ی هیل به دست آمده در سرعت  $200 \text{ هر تر میل} / 340 \text{ میل}$  است، سرعت بحرانی دورانی پوسته‌ی استوانه‌ی برابر  $828 \text{ هر تر خواهد بود.}$

## ۴. نتیجه‌گیری

در این مقاله تنش‌های میان‌لایه‌ی در پوسته‌ی استوانه‌ی دوار کامپوزیتی هیبریدی با استفاده از نظریه‌ی LWT مورد بررسی قرار گرفت. اثبات لایه‌گذاری، جنس لایه‌ها و شرایط مرزی آزاد و گیردار بر تنش‌های درون‌صفحه‌ی و برون‌صفحه‌ی بحث شد. از روش اجزاء محدود برای بررسی و صحة‌گذاری نتایج نظریه‌ی لایه‌ی بیشترین استفاده شده و مشاهده شد که نتایج اجزاء محدود و نظریه‌ی لایه‌ی تقریباً برهم منطبق‌اند و در نواحی

## پانوشت‌ها

1. laminated composite
2. delamination
3. interlaminar stresses
4. classic laminated theory
5. layerwise theory

## منابع (References)

1. Puppo, A.H. and Evensen, H.A. "Interlaminar shear in laminated composites under generalized plane stress", *Journal of Composite Materials*, **4**(2), pp.204-220, (1970).
2. Hsu, PW. and Herakovich, CT. "Edge effects in angle-ply composite laminates", *Journal of Composite Materials*, **11**(4), pp. 422-428, (1977).
3. Pagano, NJ. "On the calculation of interlaminar normal stress in composite laminate", *Journal of Composite Materials*, **34**, pp 268-286, (1974).
4. Tang, S.A. "Boundary layer theory-part 1: laminated composites in plane stress", *Journal of Composite Materials*, **9**(1), pp.33-41, (1975).
5. Pipes, R.B. and Pagano, N.J. "Interlaminar stresses in composite laminates-An approximate elastic solution", *The American Society of Mechanical Engineers (ASME) Journal of Applied Mechanics*, **41**(3), pp. 668-672, (1974).
6. Waltz, T.L. and Vinson, J.R. "Interlaminar stresses in laminated cylindrical shells of composite materials", *American Institute of Aeronautics and Astronautics Journal (AIAA)*, **14**(9), pp.1213-1218, (1976).
7. Başar, Y., Itskov, M. and Eckstein, A. "Composite laminates: nonlinear interlaminar stress analysis by multi-layer shell elements", *Computer Methods in Applied Mechanics and Engineering*, **185**(2), pp. 367-397, (2000).
8. Reddy, J.N. "A layerwise shell theory with applications to buckling and vibration of cross-ply laminated stiffened circular cylindrical shells", Virginia Polytechnic Institute and State University. (1992).
9. Kassapoglou, C. and Lagace, P.A. "An efficient method for the calculation of interlaminar stresses in compos-

- ite materials”, *Journal of Applied Mechanics*, **53**(4), pp. 744-750, (1986).
10. Tahani, M. and Nosier, A. “Edge effects of uniformly loaded cross-ply composite laminates”, *Materials & design*, **24**(8), pp. 647-658, (2003).
  11. Tahani, M. “Analysis of laminated composite beams using layerwise displacement theories”, *Composite Structures*, **79**(4), pp. 535-547, (2007).
  12. Basar, Y. and Ding, Y. “Interlaminar stress analysis of composites: layer-wise shell finite elements including transverse strains”, *Composites Engineering*, **5**(5), pp. 485-499, (1995).
  13. Li, SJ. and Wang, X. “Analytic solution for interlaminar stresses in a multilaminated cylindrical shell under thermal and mechanical loads”, *International journal of solids and structures*, **29**(10), pp. 1293-1302, (1992).
  14. Afshin, M., Sadighi, M. and Shakeri, M. “Static analysis of cylindrical sandwich panels with a flexible core and laminated composite face sheets”, *Journal of Composite Materials*, **44**(12), pp 1455-1476, (2010).
  15. ts of uniformly loaded Tahani, M. and Nosier, A. “Edge effec cross-ply composite laminates”, *Materials & design*, **24**(8), pp. 647-658, (2003).
  16. Nosier, A. and Bahrami, A. “Free-edge stresses in anti-symmetric angle-ply laminates in extension and torsion”, *International journal of solids and structures*, **43**(22), pp. 6800-6816, (2006).
  17. Miri, A.K. and Nosier, A. “Interlaminar Stresses in anti-symmetric angle-ply cylindrical shell panels”, *Composite Structures*, **93** (2), pp. 419-429, (2011).
  18. Nosier, A., Tahani, M., and Hamed, M. A., “Interlaminar Stress Analysis in a Rotating Composite Beam”, *Sharif Journal of Science & Technology*, **20**, pp. 24-31 (in Persian) (2002).
  19. Yazdani Sarvestani, H. and Naghashpour, A. “Investigation of through-thickness stresses in composite laminates using layerwise theory”, *International Journal of Engineering Mathematics*, **13**, (2013), <http://dx.doi.org/10.1155/2013/676743>
  20. Rezvani, M. and Ghasemi Ghalebahman, “Interlaminar stresses in symmetric cross-ply composite laminates using Layerwise theory”, *Modares Mechanical Engineering*, **14**(1), pp. 59-66, (in Persian) (2013).
  21. Hosseini kordkheili, S.A. and Naghdabadi, R. “Thermoelastic analysis of a functionally graded rotating disk”, *Composite Structures*, **79**(4), pp. 508-516, (2007).
  22. Kouchakzadeh M. A., “Effect of delamination on the buckling of composite laminates under in-plane shear load”, *Sharif Journal of Science and Technology*, **26**, pp. 58-64, (in Persian) (2004).
  23. Yang, C., Chen, J. and Zhao, S. “The interlaminar stress of laminated composite under uniform axial deformation”, *Modeling and Numerical Simulation of Material Science*, **3**(2), pp 49-60, (2013).
  24. Khandelwal, R.P. and Chakrabarti, A. “Calculation of interlaminar shear stresses in laminated shallow shell panel using refined higher order shear deformation theory”, *Composite Structures*, **124**, pp. 272-282, (2015).
  25. Goswami, S and Becker, W “Analysis of sandwich plates with compressible core using layerwise refined plate theory and interface stress continuity”, *Journal of composite materials*, **50**(2), pp. 201-217, (2016).
  26. Ealias, J., Lalmoni, J.J.M. and Mattam, J.J. “Study of inter-laminar shear stress of composite structures”, *Int. J. Emerg. Technol. Adv. Eng.*, **3**(8), pp. 543-552, (2013).
  27. Yang, C, Chen, J and Zhao, S, “The interlaminar stress of laminated composite under uniform axial deformation”, *MNSMS*, **3**(2), pp. 49-60, (2013).
  28. M. Yazdani, M. Rezghi, M.R. Khalili, B. Moomivand. “Analysis of free edge stresses in a cross-ply composite plate by applying shooting method”, *Modares Mechanical Engineering*, **13**(9), pp. 1-11, (in persian) (2013).
  29. Tahani, M. and Nosier, A., “Stress Field Near the Edges of Balanced Symmetric Composite Laminates”, *Sharif Journal of Science & Technology*, **26**, pp. 10-18, 2005.
  30. Yas, M. H., Shakeri, M., Heshmati, M. and Mohammadi, S. “Layerwise finite element analysis of functionally graded cylindrical shell under dynamic load”, *Journal of mechanical science and technology*, **25**(3), pp. 597-604, (2011).
  31. Ahmadi, I. and Ataei, N. “Interlaminar and boundary layer stress analysis in thin corss-ply composite cylinders subjected to thermal loading for various boundary conditions”, *Modares Mechanical Engineering*, **16**(1), pp. 257-268, (in persian) (2016).
  32. Afshin, M. and Taheri-Behrooz, F. “Interlaminar stresses of laminated composite beams resting on elastic foundation subjected to transverse loading”, *Computational Materials Science*, **96**, pp. 439-447, (2015).
  33. Ayoubi, P. and Alibeigloo, A. “Three-dimensional transient analysis of FGM cylindrical shell subjected to thermal and mechanical loading”, *Journal of Thermal Stresses*, **40**, pp. 1-18, (2017).
  34. Heydarpour, Y., Malekzadeh, P., Golbahar Haghghi, M.R. and Vaghefi, M. “Thermoelastic analysis of rotating laminated functionally graded cylindrical shells using layerwise differential quadrature method”, *Acta Mechanica*, **223**(1), pp. 81-93, (2012).
  35. Herakovich, C. T. “The what and the why of fibrous composites”, *Mechanics of fibrous composites*, 1st Edn, Jhon Wiley & Sons, university of virginia, US, pp. 148-322 (1998).

## پیوست

$$A_{pq}^i = \sum_{k=1}^N \int_{z_k}^{z_{k+1}} \bar{C}_{pq}^{(k)} \frac{d\Phi_i}{dz} dz \quad (46)$$

$$B_{pq}^i = \sum_{k=1}^N \int_{z_k}^{z_{k+1}} \bar{C}_{pq}^{(k)} \Phi_i dz \quad (47)$$

$$A_{pq}^{ij} = \sum_{k=1}^N \int_{z_k}^{z_{k+1}} \bar{C}_{pq}^{(k)} \frac{d\Phi_i}{dz} \frac{d\Phi_j}{dz} dz \quad (48)$$

$$B_{pq}^{ij} = \sum_{k=1}^N \int_{z_k}^{z_{k+1}} \bar{C}_{pq}^{(k)} \Phi_i \frac{d\Phi_j}{dz} dz \quad (49)$$

$$D_{pq}^{ij} = \sum_{k=1}^N \int_{z_k}^{z_{k+1}} \bar{C}_{pq}^{(k)} \Phi_i \Phi_j dz \quad (50)$$

$$[A] = \begin{bmatrix} D_{\text{rr}}^{ij} & O \\ O & I \end{bmatrix}^{-1} \times \begin{bmatrix} A_{\text{dd}}^{ij} & B_{\text{dd}}^{ji} - \frac{\gamma}{R} D_{\text{rr}}^{ij} - B_{\text{rr}}^{ij} \\ O & I \end{bmatrix} \quad (51)$$

$$[B] = \begin{bmatrix} O & D_{\text{dd}}^{ij} \\ I & O \end{bmatrix}^{-1} \times \begin{bmatrix} B_{\text{rr}}^{ji} - B_{\text{dd}}^{ij} + \frac{\gamma}{R} D_{\text{rr}}^{ij} & A_{\text{rr}}^{ij} + \frac{\gamma}{R} D_{\text{rr}}^{ij} + \frac{\gamma}{R} (B_{\text{rr}}^{ij} + B_{\text{rr}}^{ji}) \\ I & O \end{bmatrix} \quad (52)$$

$$\{f\} = \begin{bmatrix} O & D_{\text{dd}}^{ij} I & O \end{bmatrix}^{-1} \times \begin{Bmatrix} O \\ O \\ -R\omega^i \end{Bmatrix} \quad (53)$$